



دانشگاه بین المللی امام خمینی (ره)

دانشکده علوم پایه

تراابری الکترون در پیوندگاه گرافین با فرومگنت کرافین

پایان نامه کارشناسی ارشد در رشته فیزیک حالت جامد

استاد راهنما

سرکار خانم دکتر سمیه احمدی سلطانسرابی

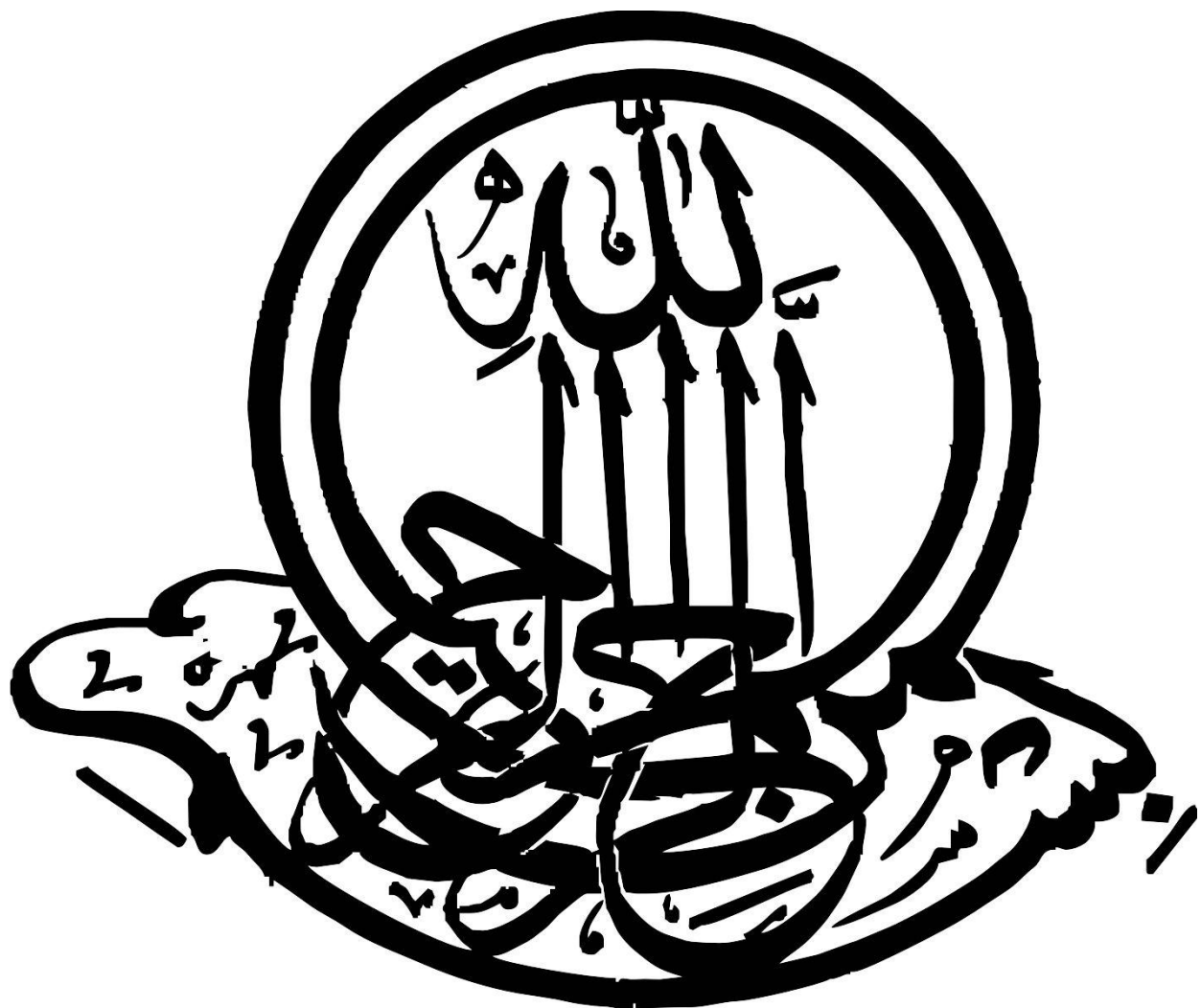
استاد مشاور

جناب آقای دکتر علی ریحانی

نگارش

احمدخان پیاوری

اسفند ماه ۱۳۹۱



چکیده

در این پایان نامه به بررسی ترابرد اسپینی در اتصالات $\text{NG}/\text{FG}/\text{NG}$ پرداخته ایم. نتایج بدست آمده حاکی از آن است که به دلیل وجود یک درگاه فرومغناطیسی EuO که یک میدان تبادلی با قدرت 5 meV دارد، جریان اسپینی در قطعه طراحی شده به وجود می آید. این جریان اسپینی یک رفتار نوسانی با تغییر پارامتر های فیزیکی قطعه از خود نشان می دهد. جدا شدگی اسپینی در گرافین نوید بخش استفاده از این ماده در صنعت اسپیترونیک است.

لغات کلیدی: گرافین – معادله دیراک – پیوندگاه فرو مغناطیسی – اسپیترونیک

فهرست مطالب

فصل اول: مقدمه

۲ ۱-۱ مقدمه
---	-----------------

فصل دوم: مروری بر منابع

۹ ۱-۲ مقدمه
۹ ۲-۱ ساختار الکترونی کربن
۱۰ ۲-۲ هیبریداسون sp^2 کربن
۱۳ ۳-۱ ساختار هندسی
۱۶ ۳-۲ یاخته‌ی واحد صفحه‌ی گرافین
۱۶ ۴-۱ محاسبه ساختار نواری گرافین
۱۷ ۴-۲ مولکول‌های محدود
۱۹ ۴-۳ ترازهای انرژی گرافین
۲۱ ۴-۴ چگالی حالات در گرافین
۲۲ ۵-۱ بدست آوردن نوار انرژی گرافین توسط معادله دیراک

فصل سوم: روش تحقیق

۳۰ ۱-۳ مقدمه
۳۰ ۲-۱ حل معادله دیراک برای ذرات بدون جرم در اتصالات گرافین
۳۷ ۲-۲ اتصال "NG / FG / NG" گرافین با یک گیت اضافه

فصل چهارم: نتایج

۴۱	۱-۴ مقدمه
۴۱	۲-۴ نتایج
۵۶	نتیجه گیری
۵۷	پیشنهادات
۵۸	منابع
۶۱	Abstract

فهرست شکل ها

شکل ۱-۱ در این شکل (الف): صفحات گرافین (ب): ساختار بلوری الماس (ج) نمونه ای از یک

نanolوله‌ی آرمیچر و (د) مولکول C_6 نشان داده شده است.

شکل ۱-۲ اربیتال $2p_x$ دارای شکل دمبلی با دو بازوی تیره دامنه مثبت و بازوی روشن دامنه

منفی دارد.

شکل ۲-۲ ساختاری دو بعدی که نشان دهنده هیبرید sp^3 است.

شکل ۲-۳ در این شکل دو بردار پایه‌ی صفحه‌ی گرافین و دو نوع کربن 'a' و 'b' نشان داده شده

است. چهار همسایه اول برای اتم 'a' نیز نشان داده شده است.

شکل ۴-۲ (الف) یاخته واحد شبکه مستقیم گرافین. (ب) یاخته ویگنر - ساتیز شبکه وارون گرافین..

شکل ۱-۳ پیوندگاه NG/FG/NG

شکل ۲-۳ پیوندگاه گرافین فرومغناطیس با دو درگاه

فهرست نمودار ها

نمودار ۱-۲ (الف) نمودار سه بعدی ترازهای انرژی گرافین. (ب) توزیع انرژی در اولین منطقه‌ی بریلوئن

صفحه‌ی گرافین به همراه نقاط متقاضی در این شبکه..... ۲۱

نمودار ۲-۲ (الف) نمودار انرژی جسم جرم دار. (ب) انرژی جسم بدون بار ۲۲

نمودار ۳-۲ (الف) نمودار نوار انرژی برای نانوریبون آرمیچر با $W_{ac} = \frac{47\sqrt{3}}{2}d$ و (ب) نمودار

نانوریبون آرمیچر با $W_{ac} = \frac{49\sqrt{3}}{2}d$ ۲۶

نمودار ۴-۲ برای یک نانوریبون با مشخصه $W_{zz} = 40.5d$ ۲۸

نمودار ۱-۴ رسانش پیوندگاه شکل (۳-۱) برای ماده عایق فرومغناطیس EuO ۴۳

نمودار ۲-۴ مقایسه رسانش در پیوندگاه شکل (۱-۳) برای مقادیر متفاوت طول گرافین فرومغناطیس ۴۴

نمودار ۳-۴ بررسی تغییرات رسانش با طول گرافین فرومغناطیس ۴۵

نمودار ۴-۴ بررسی تغییرات رسانش اسپینی با تغییر انرژی تبادلی گرافین فرومغناطیس ۴۶

نمودار ۵-۴ در این نمودار رفتار رسانش اسپینی بیشینه را به ازای طول نمونه فرومغناطیس مشاهده می

کنید. در این قطعه از EuO با انرژی تبادلی 5 meV استفاده شده است ۴۷

نمودار ۴-۶ در این نمودار تغییرات رسانش اسپینی را نسبت به ولتاژ گیت U_g به ازای مقادیر متفاوت U

رسم نموده ایم. در محاسباتمان طول دو گیت را یکسان و برابر $d = L = \frac{3}{k}$ در نظر گرفتیم..... ۴۸

نمودار ۴-۷ در این نمودار رسانش اسپینی را نسبت به ولتاژ U برای مقادیر متفاوتی از ولتاژ U_g رسم

نموده ایم. برای هر دو گیت طول مساوی $d = L = \frac{3}{k}$ را انتخاب کرده ایم ۴۹

نمودار ۴-۸ در این نمودار رفتار رسانش اسپینی و الکتریکی بیشینه را به ازای طول نمونه فرومغناطیس

مشاهده می کنید. در این قطعه از EuO با انرژی تبادلی $5meV$ استفاده شده است..... ۵۰

نمودار ۴-۹ در این نمودار تغییرات رسانش اسپینی را نسبت به ولتاژ گیت U_g به ازای مقادیر متفاوت U

رسم نموده ایم. در محاسباتمان طول دو گیت را یکسان و برابر $d = L = \frac{3}{k}$ در نظر گرفتیم..... ۵۲

نمودار ۴-۱۰ در این نمودار تغییرات رسانش الکتریکی را نسبت به ولتاژ گیت U_g به ازای مقادیر

متفاوت U رسم نموده ایم. در محاسباتمان طول دو گیت را یکسان و برابر $d = L = \frac{3}{k}$ در نظر گرفتیم.

نمودار ۴-۱۱ در این نمودار رسانش اسپینی را نسبت به ولتاژ U برای مقادیر متفاوتی از ولتاژ U_g رسم

نموده ایم. برای هر دو گیت طول مساوی $d = L = \frac{3}{k}$ را انتخاب کرده ایم ۵۴

نمودار ۱۲-۴ در این نمودار رسانش الکتریکی را نسبت به ولتاژ U_1 برای مقادیر متفاوتی از ولتاژ U_2

رسم نموده ایم. برای هر دو گیت طول مساوی $d = L = \frac{3}{k}$ را انتخاب کرده ایم.

فصل اول

مقدمہ

۱-۱ مقدمه

ادوات الکترونیکی معمولی وابسته به تراپری حامل های بار الکتریکی در نیمه‌رساناهایی چون سیلیکان هستند. امروزه فیزیکدانان به فکر طراحی گونه دیگری از انتقال اطلاعات با روش‌های نوین کوانتومی افتاده‌اند که وجه مشترک بسیاری از این روشها استفاده از خاصیت اسپین ذرات است و به عنوان شاخه‌ای از فیزیک معرفی می‌شود که با کنترل و دستکاری اسپین الکترون علاوه بر بار آن در ذخیره سازی و انتقال اطلاعات می‌تواند کاربرد فراوانی داشته باشد. یکی از مسائل مربوط به دستکاری اسپین، دستکاری جهت اسپینی یعنی توانایی قطبیده کردن اسپین است. اسپیترونیک یا الکترونیک اسپینی شاخه‌ای از فیزیک حالت جامد است که در آن به بررسی و کنترل درجات اسپینی یک سیستم می‌پردازد. بار و اسپین الکترون دو خصیصه جالب الکترون در امر تراپری هستند. اهداف اصلی فیزیک ماده چگال بررسی خصیصه‌های الکترونی در مواد بالاخص موارد مربوط به تراپری بار الکترون بوده است. علاوه بر این ویژگی، خاصیت اسپینی الکترون است که منجر به پیدایش مواد مغناطیسی می‌شود. اسپین خنثی نشده الکترون‌های تراز آخر باعث ایجاد رفتار مغناطیسی یک اتم می‌شوند. هرگاه یک جفت شدگی بین دوقطبی‌های مغناطیسی اتمهای همسایه وجود داشته باشد می‌توان در ابعاد ماکروسکوپی و دمای پایین خواص اسپینی جالبی را مشاهده کرد که همان امواج اسپینی یا مگنون‌ها هستند. هرگاه ضریب جفت شدگی بین همسایه‌های مجاور مثبت باشد اتم‌ها یا همسایه‌ها تمایل به هم جهت شدن اسپین‌هایشان پیدا می‌کنند که منشا ایجاد فرومغناطیس‌ها می‌شوند و هرگاه این جفت شدگی منفی باشد همسایه‌ها تمایل به پادموازی شدن اسپین‌هایشان دارند که خود منشا ایجاد آنتی فرومغناطیس می‌باشد. این نظم اسپینی در

دماهی خاصی از بین می‌رود و هر چه قدر قدرت جفت شدگی دوقطبی‌های همسایه بیشتر باشد این دما بالاتر می‌رود. دمایی که در آن خاصیت نظم اسپینی در فرومغناطیس‌ها از بین می‌رود را دماهی کوری و دمایی که در آن نظم اسپینی در آنتی فرومغناطیس از بین می‌رود دماهی نیل^۱ می‌نامند. تا قبل از کشف پدیده مقاومت مغناطیسی بزرگ^۲ دو خاصیت اسپین و بار الکتریکی الکترون در نظریه‌های ترابرد به صورت مجزا بررسی می‌شد و توجه بسیار اندکی به ارتباط بین بار و اسپین الکترون انجام می‌گرفت. مقاومت مغناطیسی عبارتی است که به صورت بسیار گسترده در مورد تغییرات مقاومت الکتریکی یک جسم در حضور یک میدان مغناطیسی خارجی، می‌پردازد. مقاومت مغناطیسی به صورت بسیار گسترده مورد مطالعه قرار گرفته است و در اکثر کتب مرجع درسی به تفصیل به آن پرداخته‌اند. رفتار مقاومت مغناطیسی در مواد فلزی و نیمه‌رسانا و عایق تفاوت‌های زیادی با هم دارد.

ساده‌ترین روش تولید یک جریان قطبیده اسپینی تزریق جریانی اسپینی از یک ماده فرومغناطیس است. این امر منجر به ایجاد یک مقاومت مغناطیسی بزرگ (GMR) می‌شود [۱]. نمونه GMR شامل دولایه از مواد فرمغناطیس است که توسط یک لایه جداکننده غیرمغناطیسی از هم جدا شده‌اند. وقتی هر دو بردار مغناطش لایه‌ها هم راستا باشند یک جریان الکتریکی آزادانه شارش می‌کند، درحالی‌که اگر بردارهای مغناطش دو لایه پادموازی باشند یک مقاومت بزرگ مانع از شارش جریان الکتریکی می‌شود. ساختاری که بدین گونه رفتار می‌کند والو اسپینی نامیده می‌شود، بنابراین این مقاومت مغناطیسی بزرگ (GMR) پدیده والو اسپینی را ایجاد می‌کند. این والو اسپینی از مواد مغناطیسی در مقیاس نانو ساخته

^۱ Neel^۲ Giant Magnetoresistance (GMR)

می‌شوند. اندازه لایه‌های مغناطیسی از مرتبه ۱۰ تا ۱۰۰ نانومتر و حتی کمتر است. موادی که بیشتر برای

لایه‌های فرومغناطیسی استفاده می‌شوند کیالت یا یک آلیاژ از نیکل و آهن معروف به پرمالوی^۱، هستند.

لایه جدا کننده غیر مغناطیسی می‌تواند از هر فلز غیر مغناطیسی مانند مس Cu باشد[۱].

ادوات اسپیترونیک نقش بسیار مهمی را در ذخیره سازی داده‌ها، صنعت میکروالکترونیک، حسگرهای

کاربردهای زیست فناوری و از این قبیل را دارند. امروزه هرکس یک دستگاه اسپیترونیکی را روی میز

خود دارد، زیرا تمامی رایانه‌های مدرن از والو اسپینی برای خواندن و نوشتن داده‌ها بر روی درایو سخت

استفاده می‌کنند. کشف تونل زنی مقاومت مغناطیسی منجر به تولید نسل جدیدی از حافظه‌های رایانه‌ای

شده است [۲].

از زمان‌های گذشته تا کنون مواد کربنی یک بستر بزرگ تحقیقاتی را در علم مزوسکوپیک به خود

اختصاص داده‌اند. آنها خواص الکترونیکی بسیار جالبی عرضه می‌کنند که مربوط به پیکربندی‌های فروان

حالت‌های الکترونیکی اتم‌های کربن می‌شود. کربن با عدد اتمی ۶ در گروه ششم جدول تناوبی قرار دارد.

این عنصر ترکیب اصلی موجودات زنده را در بر گرفته است. بنابراین بیشتر دانشمندان سعی می‌کنند

ترکیبات کربنی را در شاخه‌ی شیمی آلی بررسی کنند. این عنصر از دیر باز برای انسان به صورت دوده و

ذغال چوب شناخته شده بود. گونه‌های متفاوت دیگری از کربن نیز وجود دارند که تفاوت این گونه‌ها

صرفًا به شکل گیری اتم‌های کربن نسبت به هم یا به ساختار شبکه‌ای آنها بر می‌گردد.

از سوختن ناقص بسیاری از هیدرولکربن‌ها و یا مواد آلی (مثل چوب یا پلاستیک) ماده سیاه رنگی به جا

می‌ماند که کربن بی‌شکل یا آمورف نام دارد. این ماده که پس مانده‌ی سوخت ناقص مواد آلی است از

^۱ Permalloy

دیر باز جهت تولید انرژی بشر به کار می‌رفت. ذغال چوب و ذغال سنگ از انواع مواد کربن بی‌شکل هستند که سوزاندن آنها انرژی زیادی تولید می‌کند. الماس گونه‌ی دیگری از کربن می‌باشد که دارای ساختار بلوری منظمی است. در این ساختار هر اتم کربن با چهار اتم کربن دیگر پیوند برقرار می‌کند. اتم‌های الماس در یک شبکه fcc با ثابت شبکه $a = 0.356 \text{ nm}$ قرار دارند. طول پیوند کربن – کربن در این ساختار برابر 15 nm گزارش شده است [۳]. این ماده به دلیل سختی بالا تمام عناصر موجود در طبیعت را می‌تراشد و از این رو در تراش فلزات سخت، سرامیک‌ها و شیشه از آن استفاده می‌کنند. این ماده به دلیل درخشش بالایی که دارد از دیرباز در جواهر سازی نیز مورد استفاده قرار می‌گرفته است.

در سال ۱۹۸۵ ریچارد اسملی^۱ ساختاری جدید از کربن را کشف کرد که فلورن نامگذاری شد [۴]. C_{60} اولین فلورنی بود که کشف شد. این ملکول همانند یک توپ فوتbal کروی و شامل ۶۰ اتم کربن است. اتم‌های کربن در گوشه‌های ۲۰ شش ضلعی منظم و ۱۲ پنج ضلعی قرار می‌گیرند. بعد از گزارش کشف مولکول C_{60} دانشمندان زیادی شروع به انجام آزمایش‌های جدید جهت ساخت مولکول‌های جدید از کربن کردند. سرانجام در سال ۱۹۹۱ ایجیما^۲ موفق به کشف نانولوله‌های چند دیواره‌ی کربنی^۳ شد [۵]. دو سال بعد از گزارش کشف نانو لوله‌های کربنی چند دیواره، ایجیما و همکارانش موفق به ساخت نانو لوله‌های کربنی تک دیواره^۴ شدند [۶]. نانو لوله‌های کربنی به دلیل خواص الکتریکی جالبی که دارند در ادوات الکتریکی موارد استفاده زیادی می‌توانند داشته باشند. این مواد به دلیل رسانش یک بعدی در مقیاس نانو می‌توانند جاگزین مناسبی برای فلزات و یا نیمه‌رساناهای باشند.

^۱ Rick Smalley^۲ Iijima^۳ MWCNT^۴ SWCNT

گرافیت از دیر باز جهت نوشتمن به کار می‌رفته است. گرافیتی که در طبیعت یافت می‌شود معمولاً دارای ناخالصی‌هایی می‌باشد و کربن خالص نیست. گرافیت متتشکل شده از صفحاتی است به نام گرافین که روی یکدیگر قرار گرفته‌اند. صفحات گرافین متتشکل از اتم‌های کربنی هستند که با آرایش لانه زنبوری در دو بعد رشد کرده‌اند. اتم‌های کربن در صفحات گرافین پیوندهای قوی با هم دارند در حالی که پیوند بین اتم‌های کربن بین صفحات گرافین در گرافیت بسیار سست است به همین علت گرافیت بسیار نرم است.

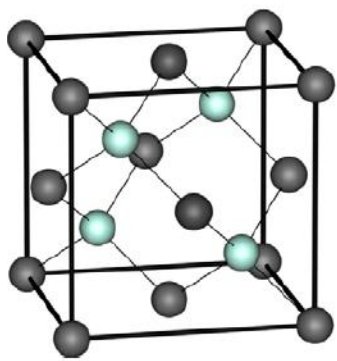
در سال ۲۰۰۴ گروهی از فیزیک دانان در دانشگاه منچستر موفق به مشاهده آرایه‌ای از اتم‌های کربن در یک شبکه لانه زنبوری دو بعدی شدند که ساختاری پایدار داشت و به این ترتیب روایی دستیابی به ساختاری دو بعدی محقق شد^[۸]. این شبکه یک بعدی از اتم‌های کربن در یک شبکه دو بعدی لانه زنبوری تنها به ضخامت یک اتم کربن، گرافین نامیده شد. رسوب گذاری بخار شیمیایی^۱، لایه‌لایه کردن میکرومکانیکی^۲، رشد هم بافت روی سطوح عایق^۳ و ایجاد تعليق‌های کلوئیدی^۴ عمومی‌ترین روش‌هایی هستند که جهت تولید گرافین به کار می‌روند^[۹]. در شکل (۱-۱) انواع گوناگون کربن که در اینجا معرفی کردیم نشان داده‌ایم.

^۱ Chemical Vapor Deposition

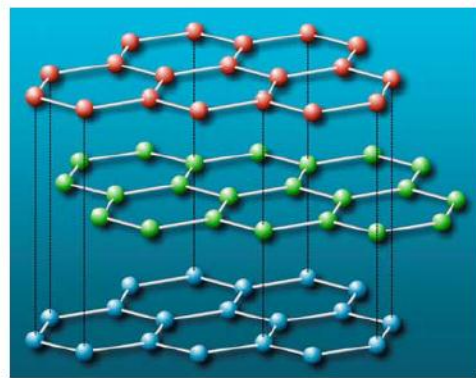
^۲ Micromechanical Exfoliation of Graphite

^۳ Epitaxial Growth on Electrically Insulating Surfaces

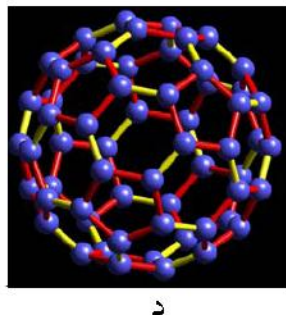
^۴ Creation of Colloidal Suspensions



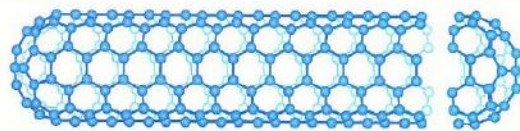
ب



الف



د



ج

شکل ۱-۱. در این شکل (الف): صفحات گرافین (ب): ساختار بلوری الماس (ج) نمونه‌ای از یک نانولوله‌ی آرمیچر و (د) مولکول C_{60} ، نشان داده شده است [V].

فصل دوم

مروری بر منابع

۱-۲ مقدمه

بررسی خواص فیزیکی گرافین به صورت تئوری در سالهای قبل از کشف گرافین یعنی در سال ۱۹۴۷ توسط والاس^۱ مطرح شده بود. او خواص الکتریکی این ساختار و همچنین به رابطه پاشندگی خطی آن اشاره کرده بود[۱۰]. معادله موج این ماده توسط مک‌کلار^۲ در سال ۱۹۵۶ استخراج شده بود[۱۱]. شbahت رابطه پاشندگی گرافین به رابطه پاشندگی با معادله دیراک در سال ۱۹۴۸ توسط سمونوف^۳ بررسی شده بود. علت اینکه گرافین توانست بر خلاف تصور همگان با وجود افت و خیزهای گرمایی به حیات خود ادامه دهد وجود پیوندهای کوالانسی C-C در این ساختار می‌باشد. کربن با عدد اتمی ۶ دارای دو الکترون در اربیتال ۱s است که در ترابرد الکترونی هیچ نقشی ندارد. ۴ الکترون دیگر در نوار ظرفیت قرار می‌گیرند که با تشکیل هیبرید sp² ساختار گرافین را شکل می‌دهند. بررسی خواص هندسی و الکتریکی گرافین در منابع گوناگونی انجام شده است [۱۲-۱۸]. جهت درک روشنی از امر رسانش در صفحه گرافین ابتدا به بررسی ساختار الکترونی کربن در یک شبکه لانه زنبوری می‌پردازیم.

۲-۲ ساختار الکترونی کربن

در گونه‌های مختلف کربن بجز الماس الکترون‌های π هستند که در امر رسانش دخالت می‌کنند [۱۹]. اتم کربن شامل ۶ الکترون است که اربیتالهای 1s^۲، 2s^۲ و 2p^۲ را اشغال می‌کنند. به منظور بدست آوردن تابع موج 2p در اتم کربن معادله مستقل از زمان شرودینگر را باید برای اتم کربن حل نمود.

^۱ P.R.Wallace

^۲ J.W. McClure

^۳ G.W. Semenoff

جملاتی که در هامیلتونی مسئله ظاهر می‌شوند شامل قسمت مربوط به انرژی جنبشی، برهمنش کولنی الکترون با هسته و برهمنش کولنی الکترون‌ها با یکدیگر است. این هامیلتونی را در نهایت می‌توان به شکل زیر نوشت.

$$\hat{H} = \frac{-\hbar^2 \nabla^2}{2m_e} - \frac{e^2}{4\pi\epsilon_0 r} + \sum_{i=1}^N \frac{e^2}{4\pi\epsilon_0 |\vec{r} - \vec{r}_i|} \quad (1-2)$$

جمله اول سهم مربوط به انرژی جنبشی است. جمله دوم مربوط به برهمنش کولنی الکtron با هسته است و جمله سوم مربوط به برهمنش کولنی الکtron با الکtron دیگر است. $|\vec{r}_i - \vec{r}|$ اندازه فاصله بین الکtron اریتال $2p$ و الکtron $1s$ است. معادله‌ی ویژه مقداری مستقل از زمان به صورت زیر می‌باشد.

$$\left\{ \frac{-\hbar^2 \nabla^2}{2m_e} - \frac{e^2}{4\pi\epsilon_0 r} + \sum_{i=1}^N \frac{e^2}{4\pi\epsilon_0 |\vec{r} - \vec{r}_i|} \right\} \Psi_{1p}(\vec{r}) = E_{1p} \Psi_{1p}(\vec{r}) \quad (2-2)$$

چون فاصله بین الکtron $2p$ و سایر الکtron‌ها معلوم نیست این معادله به صورت معمول قابل حل نیست. به منظور حل این معادله بعضی از تقریب‌ها را باید منظور کرد.

۲-۱-۲ هیبریداسون^۱ sp^2 کربن

اریتال $2p$ اتم کربن در جامدات کربنی بر اساس تابع شعاعی اسلاطرا به صورت زیر نوشه می‌شود:

$$u_{1p}(\vec{r}) = R_{11}(r) Y_{1,m}(\theta, \varphi) \quad (3-2)$$

مؤلفه‌های اریتال $2p$ را در راستای محورهای مختصات دکارتی به صورت زیر می‌توان نوشت

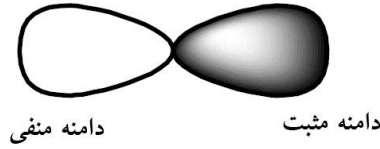
$$u_{1p_x}(\vec{r}) = R_{11}(r) \sin(\theta) \cos(\varphi) \quad (4-2 \text{ الف})$$

¹ Hybridization

$$u_{rp_y}(\vec{r}) = R_{r_1}(r) \sin(\theta) \sin(\varphi) \quad (4-2\text{ ب})$$

$$u_{rp_z}(\vec{r}) = R_{r_1}(r) \cos(\theta) \quad (4-2\text{ ج})$$

اندازه این ارбیتال‌ها در یکسری از نقاط ویژه در فضا مقدار قابل ملاحظه‌ای را اتخاذ می‌کند. اگر این نقاط را در فضا رسم کنیم مشاهده می‌کنیم که این اربیتال‌ها به صورت دمبل‌هایی هستند که در امتداد محورهای مختصات قرار گرفته‌اند [۲۰]. همان‌گونه که در شکل (۱-۲) نشان داده‌ایم اربیتال $2p_x$ دارای یک بازو با دامنه منفی و بازوی دیگر با دامنه مثبت است. این موضوع را از رابطه (۴-۲ الف) به سادگی می‌توان فهمید. تجزیه شدن اربیتال p در مولکول‌ها و جامدات کربنی منشأ پیدایش هیبریدهای گوناگون این عنصر می‌شود.



شکل ۱-۲. اربیتال $2p_x$ دارای شکل دمبلی با دو بازوی تیره دامنه مثبت و بازوی روشن دامنه منفی دارد

چون فاصله تراز بالاتر p از تراز پایین تر $2s$ چندان زیاد نیست بنابراین توابع موج این دو اربیتال می‌توانند با هم به صورت خطی ترکیب شوند [۱۹]. از نحوه ترکیب شدن اربیتال $2s$ با سه مؤلفه‌ی اربیتال p هیبریدهای گوناگونی به وجود می‌آیند. به طور مثال اگر یک مؤلفه‌ی اربیتال p با اربیتال $2s$ ترکیب شود تابع موج جدید را هیبرید sp می‌گویند. اسیتیلن با فرمول شیمیایی C_2H_2 دارای هیبرید sp